

Задаци за вежбу

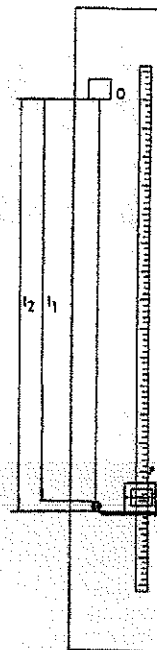
1. Измерити специфичну тежину дате течности.

2. Измерити специфичну тежину растворова кухињске соли у води и према њој одредити проценат соли у раствору, а према вредностима датим у таблици на крају књиге.

ОДРЕЂИВАЊЕ УБРЗАЊА ЗЕМЉИНЕ ТЕЖЕ

§ 29. ОДРЕЂИВАЊЕ УБРЗАЊА ЗЕМЉИНЕ ТЕЖЕ МАТЕМАТИЧКИМ КЛАТНОМ

Убрзаше Земљине теже g математичким клатном може да се одреди коришћењем апроксимативног обрасца за његов период осциловања (Физика I, § 76a образац 76, 4)



Сл. 29-1

где дужину клатна l и период осциловања T налазимо директним мерењем.

Апаратура. Куглица од олова или месинга, обешена је о танак конац, чији је други крај пребачен преко оштрице O ради тачнијег одређивања положаја тачке вешања (сл. 29-1).

Метод мерења. Изабере се једна дужина клатна (обично од 0,5—1 m) и измери. Дужина клатна l представља растојање између тачке вешања и центра куглице. Ради одређивања дужине клатна врше се два мерења. Најпре се измери катетометром K дужина l_1 од тачке вешања, односно од оштрице до горње тангенијалне површине кутлице а затим l_2 од оштрице до доње тангенијалне површине куглице. Аритметичка средина ових двеју вредности ће нам дати тражену дужину клатна, односно

$$l = \frac{l_1 + l_2}{2}$$

Мерење периода T врши се помоћу хронометра. Клатно се изведе мало из равнотежног положаја и пусти да осцилује тако да амплитуде буду мале, највише 1 cm.

Иза клатна се налази вертикалан зарез и када се клатно посматра једним оком спреда, конац клатна које осцилује прелази преко овог зареза. Хронометар се пусти у рад, у моменту када конац пређе преко зареза и отпочне бројање пуних осцилација. Када се тако одброји већи број осцилација (30—50),

$$T = 2\pi \sqrt{\frac{l}{g}} \quad (29,1)$$

одакле је

$$g = 4\pi^2 \frac{l}{T^2} \quad (29,2)$$

§ 29. Одређивање убрзаша Земљине теже математичким клатном

хронометар се заустави у моменту кад конац у истом смеру пређе преко зареза. Ако смо одброяли n осцилација и нека је укупно хронометром измерено време τ , онда период клатна добивамо из односа

$$T = \frac{\tau}{n}$$

Период осциловања T се не мери из једне осцилације пошто би релативна грешка при мерењу била велика. При одређивању момента пролаза конца преко зареза и пуšтању хронометра у рад јавља се и код вештог посматрача грешка од око $\pm 0,2$ s. Међутим, ова грешка остаје иста и када се мери већи број осцилација, али се у том случају расподељује на n избројаних осцилација, те ће у односу на T бити n пута мања. Уколико је n веће уголико је добивена вредност за T тачнија. Зато се за тачнија мерења броји и до 200 осцилација.

Исти поступак се сада понови за неколико других дужина клатна. Препоручује се да се још пре почетка мерења начини следећа таблица 29-I, како би се добивене вредности ставиле одмах у одговарајуће рубrike, а затим рачуном попуниле и остale.

Таблица 29-I

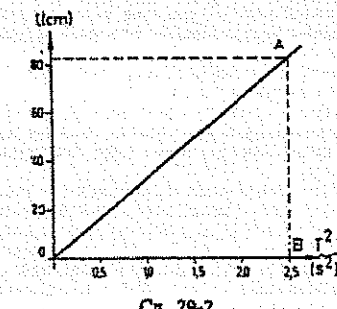
| 1 | 2 | 3 | 4 | 5 | 6 | 7 | 8 |
|-------------------|------------|------------|----------------------------------|-----------|-------|--------------------|---------------------------|
| Редни број мерења | l_1 (cm) | l_2 (cm) | $(l = \frac{l_1 + l_2}{2})$ (cm) | (T) (s) | (n) | $(T = \tau/n)$ (s) | (T^2) (s ²) |
| | | | | | | | |
| | | | | | | | |
| | | | | | | | |

За налажење средње вредности односа $\frac{l}{T^2}$ послужићемо се следећим

графиконом. Нанесимо величине T^2 на апсцису а вредност l на ординату координатног система (сл. 29-2). Добивене тачке на графикону треба да стоје на једној правој линији јер су, према обрасцу, дужине математичког клатна пропорционалне квадрату трајања једне осцилације. Зато се на графикону повлачи права линија кроз добивене тачке. Услед грешке при мерењу све тачке не могу лежати на правој, већ се јављају већа или мања одступања. Зато се права повлачи тако да ова одступања буду минимална. Повешимо сада ординату AB на десном крају графикона, тј. тамо где су ординате највеће. Онда је $AB/OB = l/T^2$ а убрзаше g добивамо из

$$\frac{l}{T^2} = \frac{AB}{OB}$$

$$g = \frac{4\pi^2 l}{T^2} = 4\pi^2 \frac{AB}{OB} \text{ cm/s}^2$$



Сл. 29-2

Овде AB и OB не треба схватити као обичне дужине већ као величине које те дужине представљају у изабраним размерама на одговарајућим осама. Изабране размере за појединачне осе графика трбала је да буду много разлиčите међусобно. Тако изабране размере се наносе на одговарајуће осе графика односно на осама графика се назначају скале. Тада се величине AB и OB читају на тим скалама у одговарајућим јединицама које су на скалама, односно на осама означене.

Грешка мерења. Овде је величина T у обрасцу (27,2) са експонентом 2. За оцењивање максималне грешке треба лођи од општег обрасца $-8 \cdot 10^{-11}$. Поволније је да се најпре израчуна максимална релативна грешка

$$\frac{\Delta g}{g} = \frac{\Delta l}{l} + 2 \frac{\Delta T}{T} \quad (29,3)$$

где су Δl и ΔT апсолутне грешке са којима су измерене величине l и T . Апсолутна максимална грешка Δg за убрзање g се добија множењем релативних грешака са g . Ако су релативне грешке $\frac{\Delta l}{l}$ и $\frac{\Delta T}{T}$ приближно исте онда

се из (29,3) види да $\frac{\Delta g}{g}$ улази са фактором 2 тј. има већи утицај на грешку

$\frac{\Delta g}{g}$ па се за приближне процене $\frac{\Delta l}{l}$ може и занемарити нарочито ако је

$\frac{\Delta l}{l} < \frac{\Delta T}{T}$. Пошто се овде ради о проверавању величине g за коју распо-

лажемо вредностима које су одређене са великим тачношћу (за наше географске ширине $g_T = 980,80 \text{ cm/s}^2$), можемо ову вредност сматрати за тачну и према тој одредити $\Delta g = g - g_T$.

Напомена

I. Убрзање g је добијено из обрасца за математичко клатно. За мерење је, међутим, употребљено клатно које је само приближно математичком клатну, те је и добијени резултат приближен. Одступања се јављају углавном из следећих разлога:

1. Куглица која је материјална тачка већ тело коначних димензија.
2. Кога се око је обешена куглица има своју масу, противно дефиницији математичког клатна.

3. Конач је еластичан и мења своју дужину јер се мења и сила са којом је конач затегнут при осциловању.

4. Воздух у коме клатно осциловају утиче на кретање клатна. На куглицу деслује потисак ваздуха, а извесна количина ваздуха осциловаје заједно са куглицом.

5. Образац важи за веома мале амплитуде осциловања, док при мерењу имамо коначне амплитуде.

II. При мерењу треба пазити да се не јави елиптичне осцилације клатна. Ако се оне примете, треба клатно зауставити и поново изазвати осцилације.

III. Код клатна је период осциловања практички независан од амплитуде, под условом да су она мале. За веће амплитуде период постаје краћи. Практично се период мења кад је угao за који се клатно изведе из равнотежног положаја већи од 5° . Период осциловања је исто тако независан од масе. Све ове чињенице се могу лако проверити, те је корисно да се ова проверавања изврши.

ЕЛАСТИЧНОСТ

§ 30. ОДРЕЂИВАЊЕ (YOUNGOVOG) МОДУЛА ЕЛАСТИЧНОСТИ ЗА МАТЕРИЈАЛ ЈЕДНЕ ЖИЦЕ

Са основним појмовима теорије еластичности упознати се из Физике I, § 60, 61 и 65.

Под дејством сила свако тело мења свој облик у извесној мери. Еластична тела се по престанку дејства сила враћају у свој првобитни облик. Само када напрезање тела, услед дејства силе, пређе извесну границу, еластична тела остају трајно деформисана. Ова граница зове се граница еластичности. Величина деформације, коју у границама еластичности изазива одређена сила, је под извесним околностима константна за дати еластични материјал. На основу овога су уведене извесне константе еластичности, помоћу којих се деформације тела могу законима изражавати, анализирати или израчунавати. Услед различитих димензија и облика тела, подесније је да се при овоме не оперише са укупним силама, које изазивају еластичну деформацију, већ са напоном који представља силу на јединици површине пресека тела. Из истих разлога уведен је појам релативне деформације тела, тј. односа из апсолутне деформације и димензије тела. При еластичној деформацији, тела могу бити напрегнута на различите начине, међу којима је истезање најједноставније.

Најпростији случај оваквог напрезања представљен је на сл. 30-1. Један штап или жица од еластичног материјала има константну површину S попречног пресека. Штап је на једном крају учвршћен, а на другом је оптерећен силом F , која делује у правцу осе штапа и врши истезање истог. Правац сile F је у овом случају управан на попречни пресек S штапа те се у њему јавља нормални напон



Сл. 30-1

Штап је имао првобитну дужину l , али се под дејством сile F његова дужина повећала за Δl што представља апсолутно истезање штапа. Однос $\Delta l/l$ даје релативно истезање δ штапа тј. $\Delta l/l = \delta$. Према Hookeovom закону је релативно истезање сразмерно напону односно

$$\delta = e \sigma$$

Коефицијент пропорционалности e се у овом случају зове коефицијент еластичности. Према горњем закону је коефицијент e бројно једнак дужини за коју се истегне штап дужине l и попречног пресека 1 m^2 када се оптерети силом од 1 N . У пракси је подесније да се овај закон изрази у облику: $\sigma = e/l \delta$. Уобичајено је да се реципрочна вредност од e означава са E , тј. $1/e = E$, те се Hookeov закон обично даје у облику

$$\sigma = E_y \delta \quad (30,1)$$

Коефицијент E_y се у овом случају зове модул еластичности или Youngov modul. Овај закон важи до тзв. границе пропорционалности која се налази нешто испред границе еластичности.

III. ОСЦИЛАЦИЈЕ И ЗВУК

§ 40. ОДРЕЂИВАЊЕ БРЗИНЕ ЗВУКА ПОМОЋУ KUNDTOVE ЦЕВИ.

Када се два таласа исте таласне дужине простиру истим правцима али супротним смеровима јавља се посебан случај интерференције и као резултат овакве суперпозиције образује се стоећи талас. Трбух стоећег таласа је место где се осцилације тзв. два таласа максимално појачавају и дају максималне амплитуде стоећег таласа. Место где се два таласа међусобно максимално компензују назива се чвор стоећег таласа. У идејном случају у чвиру стоећег таласа нема резултујућих осцилација. Дуж правца простирања стоећег таласа се наизменично ређају чворови и трбуси на сталном међусобном растојању од половине таласне дужине. Места где се налазе чворови и трбуси стоећег таласа остају на истом месту, односно не мењају свој положај у простору па се зато оваква суперпозиција назива стоећи талас, за разлику од обичног таласа који се у овом случају назива прогресивни талас код кога се фаза осцилације креће у простору брзином c . У пракси се стоећи талас најлакше добива кад се талас одбија од неке препреке тако да се одбијени талас креће истим правцем као и упадни талас али супротним смером.

Најпростији облик таласа је линеарни талас који се простира дуж једне линије. Практично се линеарним таласом може сматрати и талас који се креће дуж неке жице, штапа или ваздушног стуба чија је дебљина мала у односу на дужину. Овде ћемо се ограничити на такав линеарни стоећи талас који се јавља на металном штану и ваздушном стубу у једној цеви.

За линеарни талас важи релација

$$\psi = \psi_0 \sin(\omega t - \phi) = \psi_0 \sin 2\pi \left(\frac{t}{T} - \frac{x}{\lambda} \right) \quad (40.1)$$

где су: ψ - елонгација, ψ_0 - амплитуда, ω - кружна фреквенција, ϕ - фазни угао, T - период, λ - таласна дужина и x - удаљење од почетне тачке таласа. Кад се овакав талас одбије од краја штапа, он се враћа назад дуж истог штапа, а при оваквом одбијању од ређе средине фаза таласа се не мења. Ако се упадни талас у ваздушном стубу у некој цеви одбије од краја цеви који је затворен, настаје такође стоећи талас са том разликом што се сада одбијање врши од гушће средине па се врши промена фазе за π , односно 180° .

Када се елонгација ψ_1 упадног таласа (40.1) сабере са елонгацијом одбијеног таласа ψ_2 који има сличан израз као и једначина (40.1) добија се израз (40.2) за стоећи талас са резултујућом елонгацијом

$$\psi_r = \psi_1 + \psi_2 = 2\psi_0 \cos 2\pi \frac{x}{\lambda} \sin 2\pi \frac{t}{T} \quad (40.2)$$

Израз $2\psi_0 \cos 2\pi \frac{x}{\lambda}$ може се сматрати као амплитуда синусног таласа па се из израза (37.2) види да се амплитуде мењају дуж правца таласа x од вредности 0 до $2\psi_0$. На местима где је $2\psi_0 \cos 2\pi \frac{x}{\lambda} = 0$ налазе се чворови таласа а тамо где су амплитуде $2\psi_0 \cos 2\pi \frac{x}{\lambda} = 2\psi_0$ јавиће се максималне амплитуде односно трбуси стоећих таласа. Види се и то да се оваква места периодично понављају на растојањима $\frac{\lambda}{2}$.

Пошто у пракси штап или ваздушни стуб у цеви мора имати и други крај, онда се талас после одбијања од једног краја штапа одбија и од другог његовог краја. После другог одбијања талас добије исти правец и смер као и првобитни талас али при том, у општем случају, нема исту фазу са њим. Талас се на овај начин одбија више пута од крајева штапа или ваздушног стуба. При том се и поменута интерференција понавља више пута са уочите уvezши различитим фазама па се по правилима интерференције час међусобно слабе а час појачавају тако да се не може образовати правилни стоећи талас у већем интензитету. Но у специјалном случају када талас после другог одбијања падне у фазу са првобитним таласом настаје само појачавање таласа при њиховој интерференцији. Тада стоећи талас добива изразити облик и велике амплитуде а такав случај се назива резонатором. Штап или ваздушни стуб у цеви ограничene дужине се зато некад назива и резонатором. Ако се на таквом резонатору помоћу неке спољне периодичне сile изазивају принудне осцилације, онда ће се у њему образовати стоећи таласи који у општем случају, због поменутих сложених процеса интерференције, неће бити јаче изражени. Но када наступи описанни специјални случај да талас после два одбијања пада у фазу са првобитним таласом јавиће се изразити стоећи талас са великим амплитудама што одговара процесу резонанције па отуда и потиче назив резонанције односно резонатора.

И резоновањем се може закључити да ће се овакав специјалан случај резонанције јавити онда када је дужина резонатора једнака целом броју половина таласне дужине стоећег таласа, односно прогресивног таласа. Ако дужину резонатора означимо са l важи

$$l = n \frac{\lambda}{2} = n \frac{c}{2v} \quad (40.3)$$

где је $n=1, 2, 3, \dots$, v брзина простирања таласа и c фреквенција таласа. Пошто је n било који цео број онда се може на једном резонатору јавити више случајева резонанције. Из израза (40.3) види се и то да услови резонанције зависе и од брзине простирања таласа. У најпростијем случају када

је $n=1$ биће $l = \frac{\lambda}{2}$. За штап од чврстог тела је на сл. 40-1 показан његов

вачин осциловања и учвршења. Стојећи талас на њему је означен синусним линијама. Види се да су трбуси стојећег таласа на његовим слободним крајевима, а сам штап је учвршен у средини, односно у чврту стојећег таласа јер би иначе учвршење ометало осцилацију. Треба напоменути да су синусне линије на слици само графикон стојећег таласа. Штап осцилује лонгитудинално и графикон се добива кад се амплитуде осцилација нанесу управно на осу штапа.

У нашем случају Kundtove цеви, фреквенције таласа падају у интервал фреквенције звука па се, значи, на њој посматрају

и одређују величине у акустичици. Брзина простирања с лонгитудиналних звучних таласа у чврстим телима је дата изразом

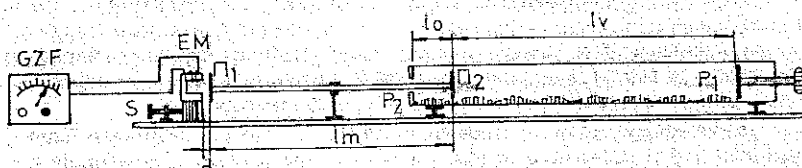
$$c = \sqrt{\frac{E}{\rho}} \quad (40,4)$$

где је E - модул еластичности (Youngov модул), а ρ густина чврстог тела. Како при резонанцији мора бити испуњен услов (37,3) онда за дужину l резонатора важи

$$l = n \frac{c}{v} = n \frac{1}{2} \sqrt{\frac{E}{\rho}} \quad (40,5)$$

У овом изразу су дате релације међу величинама l , c , v , E и ρ које корисно служе за одређивање брзине звука, модула еластичности и густине тела. Ове релације ће нам послужити за одређивање брзине звука помоћу Kundtove цеви.

Апаратура, нешто модификована класична Kundtova цев, је представљена на сл. 40-2. Метални штап учвршен у средини представља резонатор



Сл. 40-2

који осцилује као на сл. 40-1. На његовим крајевима се налазе лаке металне плочице. Један крај штапа улази у стаклену цев на чијем се другом крају налази чеп који се може померати и тиме подешавати дужина ваздушног стуба у цеви између плочице и чепа. У цеви се налази нешто лаког праха од плуте који је распоређен дуж целе цеви. Прах служи да стојећи талас који се образује у ваздушном стубу унутар цеви начини видљивим. На малом растојању од вазденице плочице на левом крају металног штапа, постављен је мали елек-

тромагнет EM који се напаја из генератора звучних фреквенција GZF и служи за изазивање принудних осцилација, односно стојећег таласа на штапу. Генератор GZF даје наизменичну струју, односно електричне осцилације чија се фреквенција може по жељи подешавати. Електричне осцилације одлазе у мали елекромагнет и изазивају периодичну магнетску силу која се преноси на гвоздену плочицу и даље на штап. Пошто магнетска сила елекромagneta има увек исти смэр, односно то је увек привлачна сила без обзира на смер струје која кроз њега протиче, за време једног периода наизменичне струје она се два пута пење на максимум и опада до нуле, а при томе и магнетска сила два пута расте до максимума и опада до нуле. Због тога је фреквенција магнетске силе два пута већа од фреквенције коју даје генератор. Леви крај стаклене цеви је већим делом затворен плочицом P_2 на извесном растојању од плочице P_1 . Ово је учињено због побољшања ефекта односно смањења губитака енергије таласа која пролази око плочице P_2 која не затвара потпуно отвор цеви.

Поступак при мерењу. Прах од плуте треба да буде равномерно распоређен дуж цеви тако да исти формира равномерну узану траку. Ово се постиже лаганим удајањем прстом по цеви услед чега се прах концентрише дуж доњих најнижих места у цеви. Ако је потребно може се десни чеп цеви извадити и дужим штапићем прах равномерније распоредити, а затим опет чеп вратити на своје место. Пусти се у рад генератор звучних фреквенција и остави 1—2 минута да се његов рад стабилизује. Лаганим окретањем дугмета са казаљком подеси се резонанција што се испољава великим повећањем интензитета пискавог тона кога производи штап кад наступи резонанција. Финим подешавањем око места резонанције генератор се остави на месту где је тон најјачи. Ако тон нијеовољно јак може се извршити подешавање растојања d изменејући плочице и елекромагнета тако да се добије најјачи тон. Ово растојање d треба да је што мање или плочица при осциловању не сме да додира елекромагнет што се примећује појавом кварења чистог тона.

Пошто сада плочица која се налази на крају штапа у цеви осцилује интензивно дуж осе штапа и цеви, то она изазива принудну осцилацију ваздушног стуба у цеви односно образује се стојећи талас у њему. Сада се по мерењем чепа P_1 подеси резонанција у ваздушном стубу што се позије по осциловању праха у цеви и формирају тзв. Kundtovi фигура. На местима где се налазе чврзови стојећи таласи прах ће остати на свом месту јер у чврзовима нема осцилације ваздуха. На местима где се налазе трбуси таласа прах ће бити разбацивају услед интензивне осцилације ваздуха. Тако ће се формирати карактеристичне Kundtovi фигуре дуж цеви. Ако фигуре нису дољно формиране може се цев окренути за мали угао око њене осе и добити бољи резултат.

Сада треба искључити генератор и приступити мерењу дужине штапа и растојања Kundtovi фигура. Растојање међу два суседна чврза или трбуха је половина таласне дужине λ , стојећег таласа у ваздуху. Ово мерење треба вршити тако што се измери укупна дужина више Kundtovi фигура и подели са бројем обухваћених фигура. Дужина металног штапа l је једнака половини таласне дужине l_m стојећег таласа у њему. Треба напоменути да штап може да резонира и при двоструко већој фреквенцији када је $n=2$. Но опсег фреквенција генератора звучних фреквенција је тако подешен да до овога не може да дође.

Фреквенција стојећег таласа штапа $v = 2v_g$ превоси се на ваздушни стуб у цеви. Према томе фреквенције стојећег таласа ја штапу и у ваздушном стубу су међусобно једнаке. Према оштој релацији за таласе, фреквенција

$$v = \frac{c}{\lambda}. \text{ За метални штап ће важити}$$

$$v = \frac{c_m}{\lambda_m} \quad (40,6)$$

где је c_m брзина звука у металу од кога је направљен штап, а λ_m таласна дужина стојећег таласа у штапу. За ваздушни стуб у цеви важиће на исти начин

$$v = \frac{c_v}{\lambda_v} \quad (40,7)$$

где је c_v брзина звука у ваздуху и λ_v таласна дужина стојећег таласа у ваздушном стубу у цеви. Изједначавањем израза (40,6) и (40,7) добива се

$$\frac{c_m}{\lambda_m} = \frac{c_v}{\lambda_v} \quad (40,8)$$

Из овог израза се може израчунати брзина звука c_m у металу од кога је начињен штап ако је позната брзина звука c_v у ваздуху или обратно.

Брзина звука у ваздуху се може израчувати из $c_v = \sqrt{\frac{P_v x}{\rho_v}}$, где је P_v

притисак ваздуха, ρ_v његова густина а $x = \frac{c_p}{c_v}$ однос специфичних топлата ваздуха при сталном притиску и сталној запремини. Брзина звука у зависности од температуре при нормалном атмосферском притиску дата је изразом

$$c_v = c_0 \sqrt{\frac{T}{T_0}}. \text{ Понто су промене атмосферског притиска релативно мале}$$

же се користити и апроксимативни практични образац $c_v = (331 + 0,59 t)^\circ\text{C}$ при чemu се брзина c_v добива у м/с.

Када се на овај начин одреди c_m може се помоћу релације (40,4) одредити и модул еластичности метала од кога је начињен штап

$$E = \rho c_m^2 \quad (40,9)$$

§ 41. МЕРЕЊЕ БРЗИНЕ ЗВУКА ПОМОЋУ QUINCKEOVE ЦЕВИ

Quinckeova цев служи за једноставно посматрање ефекта интерференције звучних таласа у гасовима (Физика I § 118). На сл. 41-1 представљена је Quinckeoova цев. Она се састоји из две U-цеви које се могу увлачивати и извлачивати тако да се дужина s_2 горњег крака шупљине цеви може мењати а да притом дужина s_1 доњег крака цеви остаје стална. Кад се звучни извор стапи фреквенције стави испред улаза у цев, онда ће се звучни талас делити у тачки А на

две гране у којима звук прелази путеве s_1 и s_2 да би се опет спојиле у тачки В, односно излазу из Quinckeoove цеви. У тачки В постоје услови за интерференцију звучних таласа тако да ако је разлика путева $s_2 - s_1$ једнака целом броју таласних дужина λ јавља се појачање таласа, а максимално слабљење за случај кад је $s_2 - s_1$ једнако непарном броју половина таласних дужина. Ако звучни талас има стални интензитет у тачки А онда ће се, при увлачењу или извлачењу горњег дела цеви, у тачки В ваизменично јављати појачање и слабљење звука. Може се лако закључити да ће се, међу два узастопна максимална појачања или слабљења звука у тачки В, разлика дужина путева $s_2 - s_1$ мењати за једну таласну дужину λ . При томе се горњи део цеви помери у односу на доњи за $\lambda/2$. На овај начин се једноставно може измерити таласна дужина λ звука.

Између фреквенције v звука, таласне дужине λ и брзине звука c важиће позната релација

$$c = v \cdot \lambda \quad (41,1)$$

Значи да се одређивањем таласне дужине звука λ са познатом фреквенцијом звука v може одредити брзина звука c , што ће бити циљ у овој вежби.

Ако звучни талас пропустимо кроз ваздух који се налази у једној ужи цеви константног пресека можемо га третирати приближно као линијски лонгitudinalни синусни талас (Физика I § 101). При овоме занемарујемо утицај зидова цеви на кретање таласа и губитке енергије таласа на околину и треће. Тада талас можемо представити једноставним изразом

$$\psi = \psi_0 \sin 2\pi \left(\frac{t}{T} - \frac{s}{\lambda} \right) \quad (41,2)$$

где су: ψ – елонгација,

ψ_0 – амплитуда,

t – време,

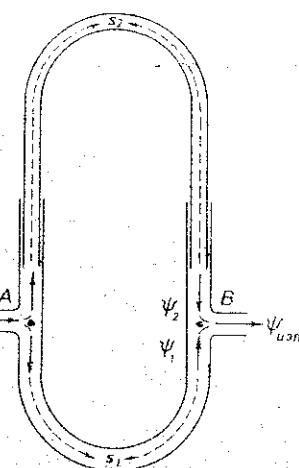
T – период осцилације,

s – пут који прелази фаза таласа,

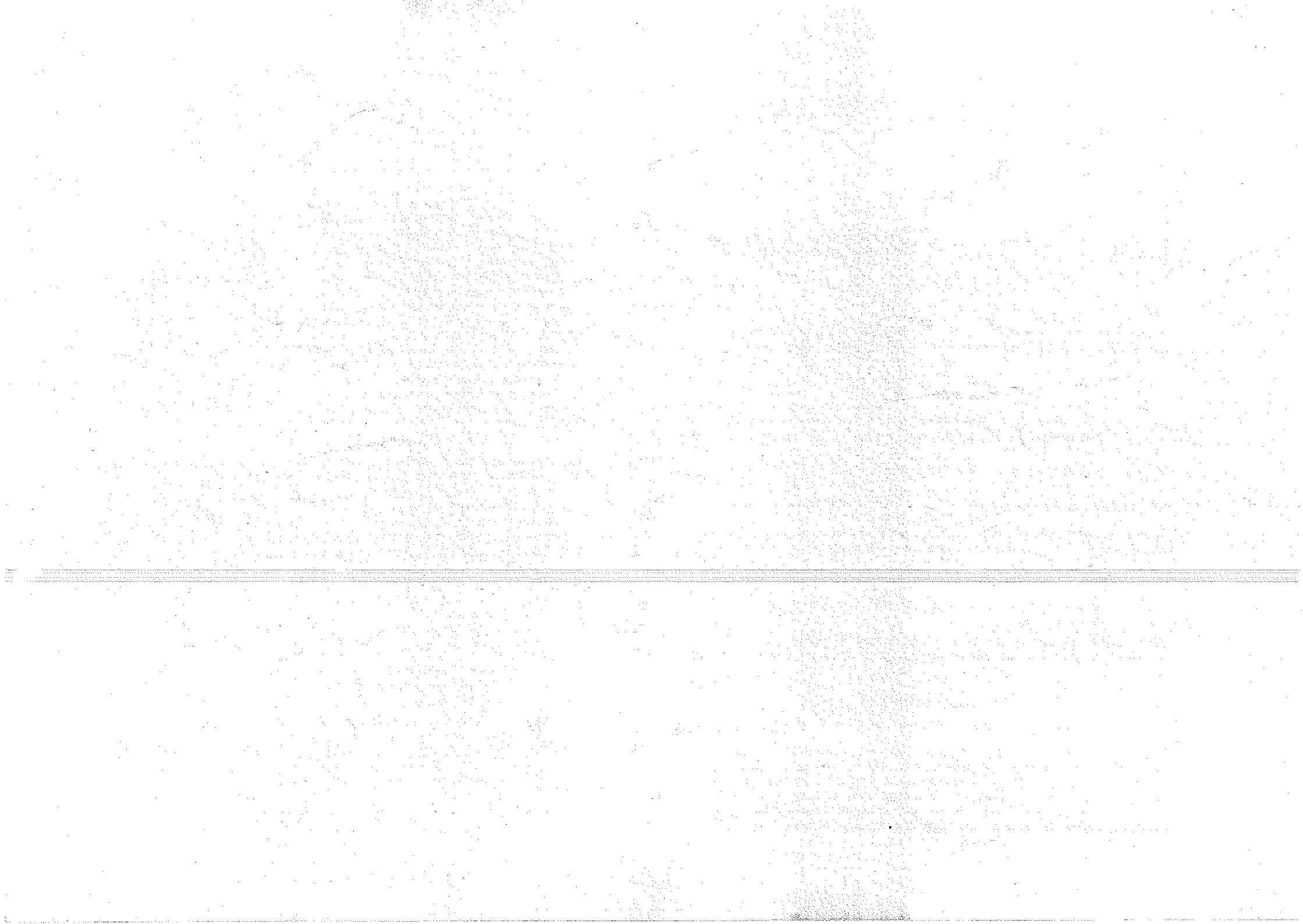
λ – таласна дужина.

На основу овог израза представимо сада таласе у гранама Quinckeoove цеви међу тачкама А и В (сл. 41-1). При том ћемо сматрати да се талас дели у две гране Quinckeoove цеви на једнаке делове и занемарити сложене процесе при додељењу таласа као и при њиховом поновном спајању. Тада ће важити, почев од тачке А, за доњу границу таласа у тачки В

$$\psi_1 = \psi_0 \sin 2\pi \left(\frac{t}{T} - \frac{s_1}{\lambda} \right) \quad (41,3)$$



Сл. 41-1



Пошто се у равни заклона са прорезом S налази и скала онда ће посматрач видети овај виртуелни лик да некој подели скале, па ће моћи да прочита удаљење I лица од прореза.

Ако би се на неком удаљењу од решетке, на месту где се налази посматрач, поставио неки заклон, односно папир онда би се на њему образовало више реалних ликова зареза, за свако z по два лика симетрично са обе стране директног лица. Ови ликови се образују због дифракције светлог зрака при проласку кроз оптичку решетку. Због тога се ови ликови називају дифракциони ликови. Кад се папир склони и постави око посматрача онда ће посматрач видети виртуелне ликове односно светле линије на скали. Уколико је лик даљи од централног зрака његов интензитет је мањи јер су овде упитању законитости појава дифракције светlostи (Физика II § 219 до 226).

Треба напоменути да се овде ради о Fresnelовој дифракцији јер светлосни диверзацији после проласка кроз зазор нису паралелни већ мање или више дивергентни. Знатно бољи ефекти дифракције на оптичкој решетки постижу се са паралелним зрацима (Fraunhoferova дифракција). Зато се у практици за овакве случајеве увек користи Fraunhoferova дифракција што је описано у следећим параграфима. Овде је, међутим, ради једноствности апаратуре и прегледности поступка примењена Fresnelova дифракција иако ова даје знатно мању прецизност мерења и теже видљиве светлосне ефекте.

Кад се на описан начин одреди растојање I лица од зареза онда се по мочу одабраног растојања D може одредити угао θ према релацији

$$\sin \theta = \frac{I}{\sqrt{D^2 + I^2}} \quad (71,2)$$

Заменом ове вредности за $\sin \theta$ у једначини (71,1) добива се израз за тражену вредност таласне дужине λ :

$$\lambda = \frac{d}{z} \frac{I_z}{\sqrt{D^2 + I_z^2}} \quad (71,3)$$

Вредност за λ се, према томе, може одредити за било коју вредност z (сем $z=0$). Исто тако се вредност за λ може израчунати и различитим вредностима за D .

Поступак при мерењу. 1. Припремити апаратуру на основу шеме на сл. 71-1.

2. Упалити извор монокроматске светlostи укључувањем прекидача за високонапонско напајање лампе. Уколико се не располаже монокроматском лампом, може се користити друга цев која даје подесан линијски спектар и из њега изабрати подесну линију.

3. Изабрати подесно растојање D решетке од прореза. Растојање D се чита на посебној скали која се налази испод држача решетке. Подесавање растојања D врши се обртањем посебног уређаја.

4. Упалити скала-лампу прекидачем који је означен на трансформатору. Постоји могућност да се осветљава и горњи и доњи део скале према томе који је начин подеснији за очитавања растојања I на скали.

5. Одредити таласну дужину λ са зраком првог реда ($z=1$) и зраком другог реда ($z=2$).

6. Бирати и друга растојања D и вршити слична мерења.

7. Из свих добивених вредности за λ израчунати средњу вредност.

Напомена

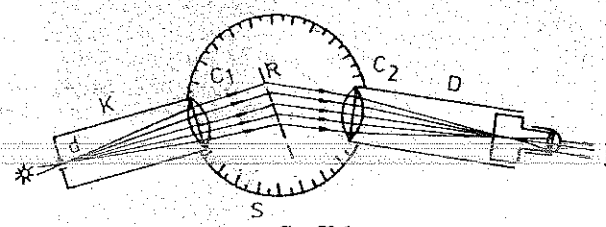
Гасна цев која служи као извор светlostи не треба се држати стално укључена јер може доћи до прегрејавања.

§ 72. ОДРЕДИВАЊЕ ТАЛАСНЕ ДУЖИНЕ ПОМОЋУ ОПТИЧКЕ РЕШЕТКЕ FRAUNHOFOEROVOM ДИФРАКЦИЈОМ

Из обрасца (70,1) може се одредити таласна дужина монокроматске светlostи, ако се измери угао скретања θ и одреди ред скренутог зрака уз познати корак решетке d .

Монокроматска светlost садржи зраке само једне таласне дужине за разлику од беле светlostи која садржи све таласне дужине у видљивом интервалу (360—780 nm). Монокроматска светlost се најједноставније добива из натријумове лампе чија светlost садржи само две врло близке линије таласних дужина у жутом подручју, па се може сматрати приближно монокроматском. Пропуштањем беле светlostи кроз разне филтере може се такође добити приближно монокроматска светlost разних боја, већ према томе који се филтер употреби.

Апаратура. Цев K (колиматор) има на једном крају узани прорез, а на другом сабирно сочиво C_1 (сл. 72-1). Узани прорез се налази у жижи сочива тако да зраци, који се после проласка кроз зарез простиру дивергентно,



Сл. 72-1

иза сочива образују паралелни сноп. Управо на овај паралелни сноп зрака постављена је оптичка решетка R . С друге стране решетке налази се дурбин D са објективом C_2 , који може да се обрће око вертикалне осе која пролази кроз центар кругле скале S . Угао обртања дурбина може да се чита на круглој скали S . У окулару дурбина су постављене једна или две вертикалне кончанице.

Поступак при мерењу. Монокроматски извор светlostи, или филтар, чија се таласна дужина мери, постави се испред колиматора односно испред узаног прореза. Узани прорез као и зарези на оптичкој решетки треба да стоје паралелно односно вертикално. Дурбин се постави приближно у исти правца са колиматором и посматрањем кроз њега уочи директни зрак који се у дурбину види као вертикална линија, односно то је лик узаног прореза на колиматору. Обртањем окулара дотера се оштрина овог лика.

VI. ОПТИКА

ГЕОМЕТРИЈСКА ОПТИКА

§ 67. ОДРЕЂИВАЊЕ ЖИЖНЕ ДАЉИНЕ СОЧИВА ИЗ РАСТОЈАЊА ПРЕДМЕТА И ЛИКА

За танко сочиво малог отвора важи приближна једначина

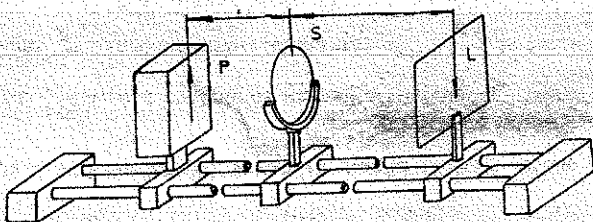
$$\frac{1}{p} + \frac{1}{l} = \frac{1}{f} \quad (67.1)$$

где су p — растојање предмета од центра сочива, l — растојање лика од сочива и f — жижна даљина сочива (в. *Физика II* § 167 и 170).

Мерењем p и l може се помоћу горње једначине одредити жижна даљина f сочива.

На овај се начин могу одређивати и жижне даљине комбинованих сочива.

Апаратура. На оптичкој клупи (сл. 67-1) постављени су светао предмет P , сочиво S и заклон L на ставивима, који могу да се померају дуж шине оптичке клупе. Светао предмет је стрелица, прорезана на кутији у којој се



Сл. 67-1

налази сијалица. Растојања предмета и лика од сочива мере се лењиром или је пак на шини оптичке клупе постављена скала на којој се ова растојања могу да читају.

a. Директан метод

Поступак. Упали се сијалица у кутији и заклон постави на жељено растојање. Ставив са сочивом се помера дуж клупе све док се на заклону не појави оштар и јасан лик светлог предмета (стрелица). За такав положај сочива измере се растојања p и l и помоћу обрасца (67-1) израчуна жижна даљина f сочива. Промени се растојање између светлог предмета и заклона и поступак понови. Из 2—3 таквих мерења узима се средња вредност за f .

На основу овако добивене средње вредности жижне даљине, израчунати оптички моћ сочива

$$\omega = \frac{1}{f} \quad (67.2)$$

у диоптријама (ако се f изрази у метрима).

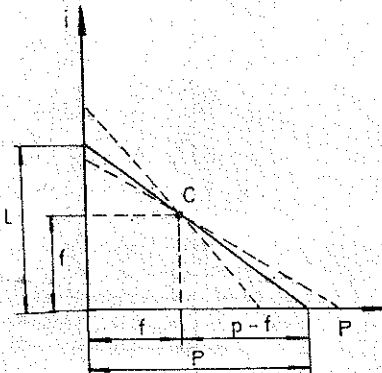
Да би се избегле дуге математичке операције, може се нумерична вредност жижне даљине одредити графичким путем. У том циљу се на једну осу графика (сл. 67-2) наноси изменено растојање p , а на другу l , па се обе тачке споје правом. Свако мерење даје по једну овакву праву које се секу у заједничкој тачки C , чије су координате једнаке и представљају тражену бројну вредност жижне даљине f .

Из сл. 67-2 је

$$\frac{l}{p} = \frac{f}{p-f}$$

Довољењем на заједнички именитељ и цељењем једначине са p/f добива се

$$\frac{1}{p} + \frac{1}{l} = \frac{1}{f}$$



Сл. 67-2

што у погледу нумеричких вредности задовољава образац (67-1) за сочиво те се овим потврђује исправност оваквог графичког метода.

б. Besselov метод

За дато растојање l између предмета AB и његовог лика $A'B'$ постоје два места сочива при којима се на заклону добива реалан лик (сл. 67-3). У првом положају сочива (I) лик је увећан а у другом (II) умањен. Према условима преламања лик се може образовати у оба положаја сочива ако је $p_I = l_{II}$ и $p_{II} = l_I$ (коњуговани положаји).

Ако је d растојање између I и II положаја сочива а D растојање предмета и лика онда важи

$$p_I = \frac{D-d}{2}$$

и

$$l_f = \frac{D+d}{2}$$

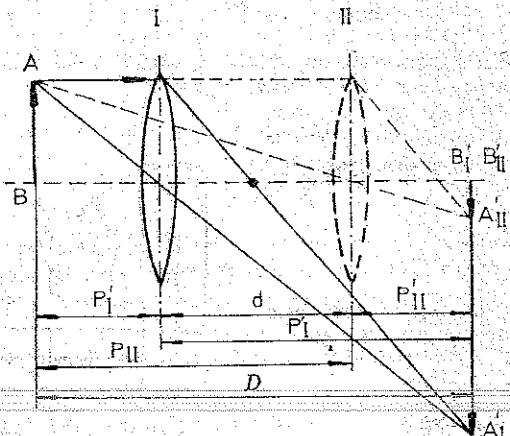
те се заменом у обрасцу (67,1) добива

$$\frac{2}{D-d} + \frac{2}{D+d} = \frac{1}{f} = \omega$$

одакле је

$$f = \frac{D^2 - d^2}{4D}.$$

Жижна даљина f и оптичка мот ω сочива се, дакле, могу израчунати ако се измере растојања D и d .



Сл. 67-3

Поступак при мерењу. Мерење се врши на истој оптичкој клупи представљеној на сл. 67-1. Измери се најпре растојање D између светлог предмета и заклона, а затим се померањем ставља са сочивом пронађу оба положаја, при којима се на заклону добива јасан лик предмета. Растојање d између оба положаја сочива се измери и одреди жижна даљина f по датом обрасцу. Поступак се понови 2—3 пута са различитим растојањем D и из свих резултата узме средњу вредност за f .

Жижна даљина расипних сочива се не може директно измерити оваквим методима, јер не дају никакд реалне ликове. Комбинацијом расипног сочива са сабирним могу се добити реални ликови ако је жижна даљина сабирног сочива мања од жижне даљине расипног. Из измерене еквивалентне жижне даљине f_e комбинованог сочива може да се одреди жижна даљина расипног сочива на следећи начин. Узме се сабирно сочиво мале жижне даљине и по једном методу одреди његова жижна даљина f_1 . Затим се поред сабирног

постави и расипно сочиво тако, да буду приљубљена једно уз друго. Измери се сада жижна даљина f_e таквог комбинованог сочива. Према обрасцу за комбинована сочива (в. Физика II § 179) важиће, с обзиром на то да је жижна даљина расипног сочива увек негативна

$$\frac{1}{f_e} = \frac{1}{f_1} - \frac{1}{f_2}$$

одавде је жижна даљина f_2 расипног сочива

$$f_2 = \frac{f_e f_1}{f_e - f_1}$$

ла је одговарајућа оптичка мот $\omega_2 = -\frac{1}{f_2}$.

§ 68. МИКРОСКОП

Микроскоп је оптички инструмент који служи за већа увеличења лика врло малих објеката. Употреба микроскопа је тесно повезана са оком које такође игра улогу једног оптичког инструмента. Само у изузетним случајевима микроскоп има додатне уређаје за снимање или пројекцију. Зато увек треба имати на уму да микроскоп увек делује у заједници са оком. Због тога је целиснодије рећи да микроскоп служи за већа повећања видног угла. Под видним углом се подразумева угао међу две праве које полазе од две међусобно најудаљеније тачке посматраног објекта а завршавају се у зеници ока.

У овом кратком прегледу рада микроскопа осврнућемо се само на неке главне физичке особине микроскопа, као мernog инструмента. Упознаћемо се са његовим основним елементима, који су уобичајени за све микроскопе.

Оптички систем микроскопа се састоји из објектива и окулара, који формирају оптичку осу микроскопа. Сваки за себе представља сложен оптички систем. Други оптички део микроскопа, који се састоји од извора светла, колектора, отгледала и кондензатора, има улогу да обезбеди правилно и равномерно осветљење објекта које посматрамо микроскопом. Сто за посматрање, треба да обезбеди стабилан положај објекта које проучавамо. Больни микроскопи имају могућност прецизног померања објектата у X—Y равни. Прецизност линеарног померања стола може да буде 0,01 mm.

На сл. 68-1 приказана је еквивалентна шема микроскопа. Она је веома упрошћена. Тако су објектив и окулар представљени само са по једним еквивалентним сабирним сочивима. Уз ова и остала упрощења добивамо упрощену слику кретања зрака кроз микроскоп. Жижне даљине, растојања ликова и предмета као и остале величине означене су на слици.

Линеарно увеличење микроскопа (Физика II § 198) је

$$u = u_1 \cdot u_2$$

где је линеарно увеличење објектива

$$u_1 = \frac{l_1}{p_1}$$

§ 82. АНАЛИЗА ПОЛАРИЗОВАНОСТИ СТИМУЛИСАНЕ СВЕТЛОСТИ Не-Не ЛАСЕРА.

Електрични вектор обичне светлости осцилије у свим правцима управним на правач простирања светлости (Физика II § 228). Вектор поларизоване светлости је оријентисан у простору и осцилије само у једној равни. Раван управна на ову у којој светлост осцилије а у којој лежи правац простирања светлости зове се поларизациона раван. Сноп стимулisanе светлости Не-Не ласера је обично поларизован. У овом задатку анализираћемо стимулisanу светлост ласерског споне у односу на његову поларизованост.

Да бисмо анализирали поларизовани ласерски спон, користићемо један полароид. То је танак прозрачни слој који садржи велики број ситних кристала кинин-јодо-сулфата, а слепљен је између двеју стаклених плочица (в. Физика II § 230 б). Кристали у слоју међу стакленим плочицама су претходно оријентисани тако да оптичке осе свих малих кристала остану у једном правцу. Тај правац је уједно и оптичка оса целог полароида. Ако се кроз такав полароид упути поларизована светлост онда он пропушта само компоненту поларизоване светлости у правцу оптичке осе полароида. Нека је E_0 амплитуда електричног вектора поларизоване светлости пре пропуштања кроз полароид онда ће после проласка кроз полароид њена вредност бити

$$E_1 = E_0 \cos \theta \quad (82,1)$$

где је θ угао који заклапа правац оптичке осе полароида са равни у којој осцилије улазна поларизована светлост. Интензитет светлости је сразмеран квадрату амплитуде. Ако са I_0 означимо интензитет поларисане светлости пре проласка кроз полароид а после проласка са I онда ће важити

$$I = I_0 \cos^2 \theta \quad (82,2)$$

Ово је познати Malusov закон.

Ако поставимо полароид управно на правац ласерског споне и обрћемо га око осе која пада у правац споне онда ће се интензитет пропуштене светлости периодично мењати по Malusovom закону. Кад оптичка оса полароида лежи паралелно са равни у којој осцилије поларисана светлост (паралелни положај) онда ће пропуштени интензитет светлости бити максималан. При обртању полароида интензитет пропуштене светлости ће се смањивати док оптичка оса полароида не дође у управни положај (укрштени положај) када ће се пропуштена светлост угасити. При даљем обртању полароида интензитет пропуштене светлости расте до следећег паралелног положаја када опет постиже максимум итд. Овакав полароид са којим се врши анализа поларизоване светлости зове се и анализатор.

Malusov закон важи за потпуно (100%) поларизовану светлост. Међутим, некад поларизација може бити и делミчини. За одређивање мере поларизације користи се тзв. степен поларизације π који је дефинисан на следећи начин

$$\pi = \frac{I_{\max} - I_{\min}}{I_{\max} + I_{\min}} \cdot 100\% \quad (82,3)$$

где је I_{\max} максимални а I_{\min} минимални интензитет пропуштене светлости.

§ 83. ДИФРАКЦИЈА ЛАСЕРСКЕ СВЕТЛОСТИ НА ПАРАЛЕЛНИМ ПРОРЕЗИМА

Апаратура се састоји од оптичке клупе на коју се постављају: Не-Не ласер, полароид, фотометар и застор. Полароид (анализатор) се помоћу статива поставља на оптичку клупу тако да ласерски спон пролази кроз њега. Полароид се може обртати око осе која пада у правац ласерског споне и снабдевен је лучном скалом на којој се могу очитавати углови обртања θ .

Фотометар је описан у претходном параграфу. Фото-отпорник се помоћу статива поставља на оптичку клупу тако да ласерски спон који прође кроз полароид пада на централни део отпорника. Статив је снабдевен микрометарским завртњем којим се може подешавати жељени положај фото-отпорника.

Поступак при мерењу. Претходна важна најомена. Ласерски спон стимулisanе светлости не сме ником случају доспети директно у око јер може доћи до оштећења ока. Ласер укључивати тек када се сви објекти поставе на клупу. Важно је да застор буде постављен тако да ласерски спон не може да оде даље. Ниуком случају не завиривати у објекте док је ласер укључен.

1. Поништо се сви објекти поставе исправно на оптичку клупу проверити да ли ласерски спон пролази кроз центар полароида и да ли пада на централни део отпорника.

2. Обртати полароид и уочити положај максимума и минимума пропуштене светлости.

3. Отпорником R за регулисање струје кроз милиамперметар подесити тако да при максимуму интензитета ласерске светлости казаљка милиамперметра стоји ближе крају скале. Отпорник за регулисање више не дирати до краја мерења.

4. За један положај полароида прочитати угао на лучној скали и одговарајући интензитет струје милиамперметра. Обрнути у одређеном смеру полароид за 10 до 20° и на исти начин очитати угао и поделу на скали милиамперметра. Оваква мерења понављати све док се не опише са полароидом пун круг. Резултате мерења бележити у таблицу. Интензитет светлости на фотометру изражавати у поделама скале милиамперметра јер се ради само о релативним мерењима.

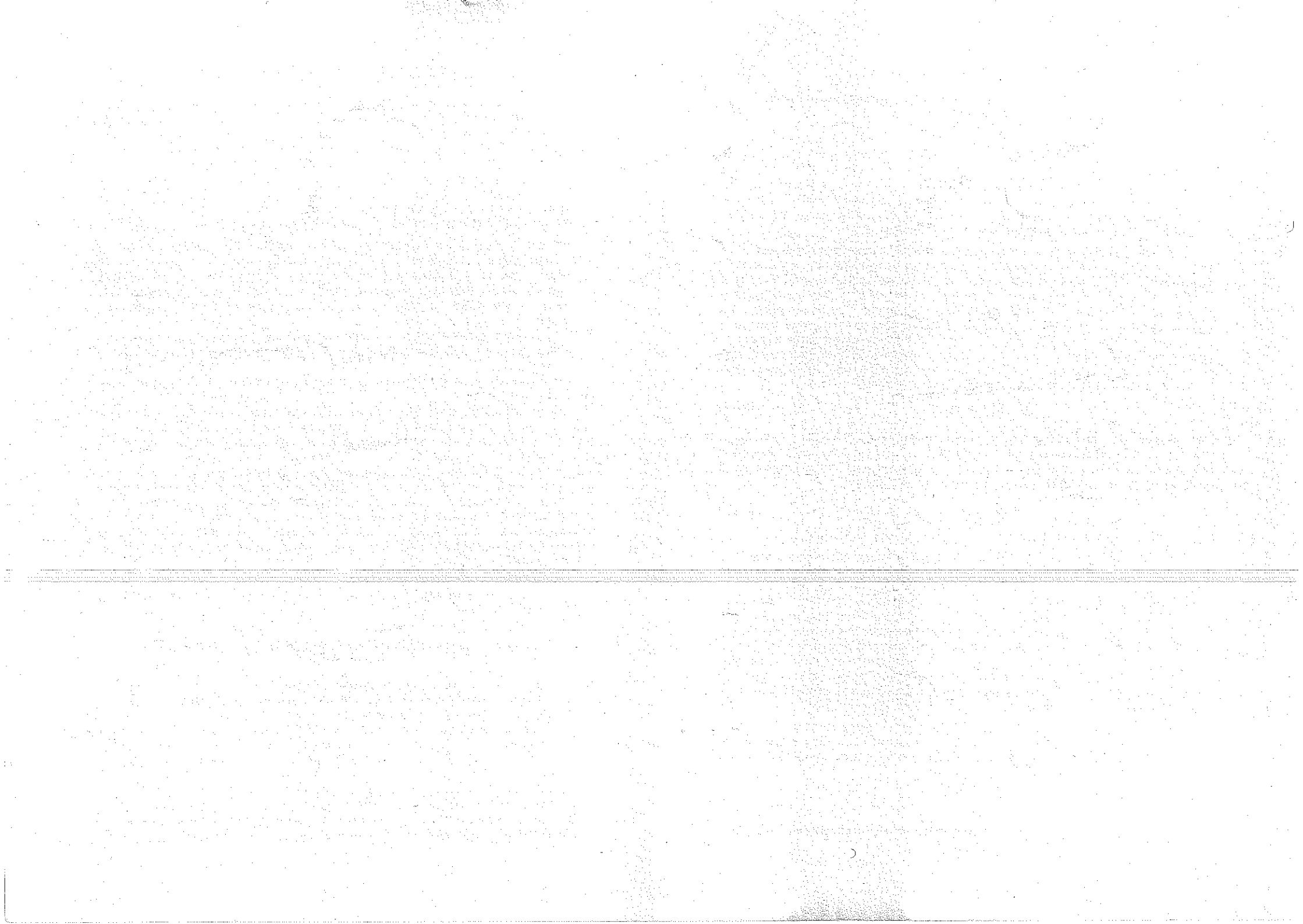
5. Начинити графикон $I=f(\theta)$.

6. Одредити положај равни снетлосних осцилација и поларизациону раван ласерског споне.

§ 83. ДИФРАКЦИЈА ЛАСЕРСКЕ СВЕТЛОСТИ НА ПАРАЛЕЛНИМ ПРОРЕЗИМА

У § 71. посматрали смо дифракцију обичне светлости на оптичкој решетки. Ово је била Fresnelova дифракција са дивергентним зрацима која, као што је тамо речено, даје слабе ефekte, а веома сложене да би се могли анализирати теоријом прихватљивог обима. Тада је речено и то да су ефекти дифракције са паралелним споном светлости (Fraunhoferova дифракција) много боље изражени и могу се анализирати једноставнијом, ма да још увек сложеном теоријом.

Ласерска светлост је паралелан и кохерентан спон светлости па је веома повољан за анализу дифракције за коју није потребан колиматор. Кад се овоме дода и чињеница да је ласерска светлост и строго монохроматична онда и са те стране стимулisanа светлост има велики значај у анализи појаве дифракције.

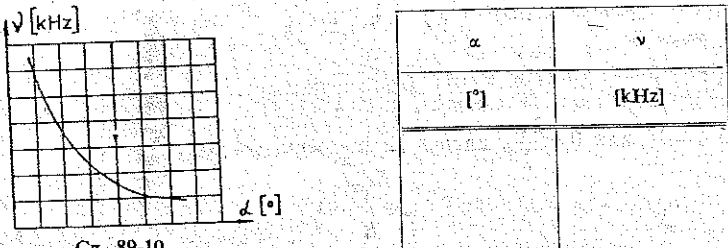


приказани су карактеристични случајеви простих Lissajousovih фигура које добивају на заклону катодне цеви, ако су применењени напони синусног облика истих фреквенција и датих фазних разлика.

Сложене Lissajousove фигуре настају када применењени напони немају исте фреквенције. Њихова математичка интерпретација је доста сложена.

На основу изложеног, извршили мерење фреквенције генератора звучних фреквенција, чија је скала за промену фреквенције калибрисана у угаоним степенима. Напон из овог генератора треба прикључити на Y-улас катодног осцилографа, а на X-улас довести напон из другог генератора напона звучних фреквенција, чија је скала калибрисана по фреквенцији у kHz. Померајући скалу првог генератора за сваких 30° , прецизним померањем ручице другог генератора за промену фреквенције наћи такав осцилограм који представља једну од простих Lissajousovih фигура — праву, круг или елипсу (најчешће се добија елипса). Тада су фреквенције оба генератора исте. При овом мерењу водити рачуна да појачање у вертикалном и хоризонталном правцу буде исто, тј. да добијена слика буде уписана у квадрату. На основу добијених мерења образовати табличу и нацртати дијаграм, као на сл. 89-10.

Таблица 89-II



§ 90. ОДРЕЂИВАЊЕ КОЕФИЦИЈЕНТА АПСОРПЦИЈЕ γ -ЗРАКА ПОМОЋУ БРОЈАЧА

Када сноп зрака пролази кроз материју, њихов интензитет опада услед апсорције. При апсорцији γ -зрака дешавају се различити ефекти, али је сам процес апсорције увек резултат међусобног дејства између γ -кванта и атома. Један γ -квант може да прође непромењен кроз материју или увек постоји већа или мања вероватноћа да ступи у интеракцију са неким атомом и да при томе буде апсорбован. При апсорцији снопа γ -зрака се, према томе, смањује број γ -кванта док њихова енергија остаје непромењена. Вероватноћа апсорције γ -кванта је сразмерна дебљини слоја x а кофицијент пропорционалности се зове кофицијент апсорције и бележи се са μ . Ако се са J обележи интензитет зрачења онда ће он при проласку кроз слој материје Δx да опадне за ΔJ , односно

$$\Delta J = -J \mu \Delta x$$

или у диференцијалном облику

$$\frac{dJ}{J} = -\mu dx$$

§ 90. Одређивање кофицијента апсорције γ -зрака...

313

те се интегрисањем добива закон апсорције. Ако се са J_0 означи почетни интензитет зрачења, закон добива облик

$$\frac{J}{J_0} = e^{-\mu x}$$

тј.

$$J = J_0 e^{-\mu x}$$

(90,1)

где је J_0 — интензитет зрачења γ -зрака (исте таласне дужине) испред апсорбионог слоја дебљине x , J — иза слоја а μ — кофицијент апсорције датог материјала за те γ -зраке.

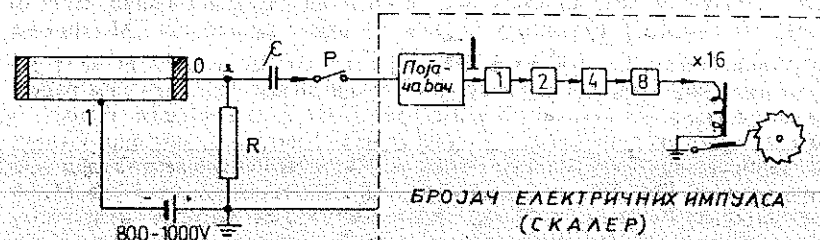
Овај закон важи за γ -зраке исте таласне дужине. Вредност кофицијента μ се мења са таласном дужином γ -зрака. Ако се сноп γ -зрака састоји из више таласних дужина онда за сваку компоненту зрачења једне таласне дужине важи закон (90,1).

У практичном погледу је подесније да се место дебљине слоја x кроз који пролазе γ зраци уведе маса у g на cm^2 . У том случају се уводи масени кофицијент апсорције μ/p где је p — густина апсорбионог слоја. При изражавању апсорције γ -зрака је некад подесно увођење дебљине слоја D кроз који интензитет зрачења опадне на половину, тј.

$$\frac{J}{J_0} = e^{-\mu D} = \frac{1}{2}$$

Кофицијент апсорције μ може да се одреди из закона (90,1) ако се измери интензитет зрачења J пре и после проласка кроз слој материје дебљине x .

Интензитет γ -зрачења може да се мери Geiger-Müllerovim (ГМ) бројачем који је у стању да региструје интеракцију једног γ -кванта са атомима у бројачу. Целокупан уређај оваквог бројача је представљен на сл. 90-1.



Сл. 90-1

Метални цилиндар A затворен је херметички са оба краја изолаторима између којих је разапета танка метална жица O тако да се поклапа са осом цилиндра. Цилиндар је напуњен гасом, обично под притиском мањим од атмосферског (око 10 cm Hg). Метални цилиндар и жица O везани су преко великог отпора R за извор високог напона (800—1000 V). Тиме се изменју централне жице и металног цилиндра образује електрично поље.

Напон се бира тако високо да је поље у цилиндру довољно да би се у гасу могао да јави ефект ударне јонизације. Ударна јонизација наступа онда када јон у слободном простору између молекула стекне под дејством поља довољну брзину да може својим ударом да растави на јоне неутрални молекул са којим се судари.

Ако γ -зраци пролазе кроз овакав бројач један број γ -кванта ће ступити у интеракцију са атомима гаса у бројачу. При свакој интеракцији образује се известан број јона. Овај примарни број јона ће се наћи сада у електричном пољу те ће се од њих, у врло кратком времену образовати, путем ударне јонизације, огроман број јона, чигава јонска лавина. Овим ће у бројачу настати пражњење, а у колу бројача потенцијална струја. Отпор R има врло велику вредност ($1-1000 \text{ M}\Omega$), те ће се на његовим крајевима јавити велики омски пад напона, што пак даље проузрокује пад напона између цилиндра и жице у бројачу. Овим ће опасти и поље у бројачу, те неће више бити у стању да одржава ефект ударне јонизације. Тиме ће и пражњење престати односно бројач ће се „угасити“. По прекиду струје успоставља се одмах првобитно електрично поље у цилиндру и бројач је опет спреман да при следећој интеракцији опет наступи ударна јонизација. При појави пражњења у цилиндру, потенцијал тачке O опадне, да би се при „гашињу“ бројач поново вратио на почетну вредност. Цео овај процес се дешава врло брзо ($10^{-3}-10^{-6} \text{ s}$), што значи да ће се при уласку честице у бројач јавити у тачки O електрички импулс. Варијација напона тачке O при сваком импулсу износи неколико волта, те се може пренети помоћу малог кондензатора C на електронски појачавач који овај импулс појача до потребне мере, да би се могао поуздано регистровати у електронском бројачу електричних импулса. На овај начин свака интеракција γ -кванта у ГМ бројачу се региструје као цео број.

Према законима вероватноће број регистрованих импулса у датом интервалу времена биће пропорционалан укупном броју γ -кванта, који су прошли кроз ГМ бројач, тј. биће пропорционалан интензитету зрачења J . По истеку датог интервала, индикаторски делови бројача електричних импулса показују укупан број импулса, који је за то време дошао из ГМ бројача.

Сваки бројач показује известан број откуцаја (импулса који се региструју) иако није издожен зрачењу. Ови удари долазе услед зрачења радиоактивних елемената, који се у малим примесама налазе у свим телима, а затим од космичког зрачења и других узрока. Употребом оловних оклопа може се број ових откуцаја само смањити, а никако отклонити. Услед тога се при мерењу ГМ бројачем најпре одреди овај спонтани број удара z_s у неком интервалу времена t . Затим се бројач изложи зрачењу и у истом интервалу t избрози укупни број откуцаја z_t . Разлика ова два броја $z = z_t - z_s$ представља број откуцаја изазван зрачењем. Овај број z биће сразмеран интензитету γ зрачења, односно $J = kz$. Оваквим мерењем се према томе не одређује интензитет зрачења већ само величина z која је овоме пропорционална. Помоћу броја z може да се нађе однос интензитета зрачења. Ако су под истим околностима, за два интензитета зрачења J_1 и J_2 добијени бројеви z_1 и z_2 онда је $J_1 = kz_1$ и $J_2 = kz_2$, те је

$$\frac{J_1}{J_2} = \frac{z_1}{z_2} \quad (90,2)$$

Нека је извор γ -зрака постављен на неком растојању од бројача и даје одређен број откуцаја z_0 који је сразмеран интензитету J_0 . Не мењајући положај бројача и извора може се између ових уметнути плаоча од материјала чији се кофицијент апсорције тражи. Услед проласка кроз плачу интензитет зрачења ће опасти на вредност J за коју ће се добити број удара z . Према обрасцима (90,1) и (90,2) добива се

$$\frac{z}{z_0} = e^{-\mu x} \quad (90,3)$$

одакле може да се одреди μ ако је дебљина слоја x позната. Логаритмовањем једначине (90,2) добива се

$$\ln z - \ln z_0 = -\mu x \quad (90,4)$$

или

$$\lg z - \lg z_0 = -\mu x \lg e.$$

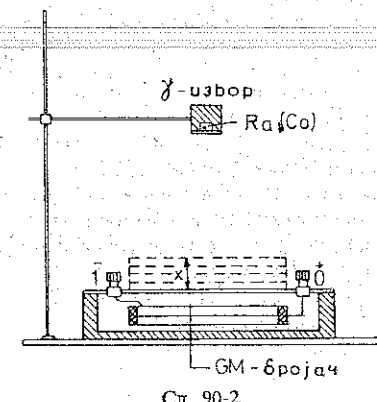
Обрасци (90,3) и (90,4) представљају линеарне законе ($y = ax + b$) за једну таласну дужину γ -зрака.

При мерењу бројачем не треба заборавити да је добивени број удара резултат вероватноће је да ће увек постојати мање или веће варијације броја z при узастопним мерењу истог интензитета J . Зато се увек врши више узастопних мерења под истим околностима и узима средња вредност. Сем тога је ГМ бројач у току трајања једног откуцаја неспособан да прими следећи откуцај. Зато откуцај који следи у интервалу времена, који је краћи од времена трајања откуцаја, неће бити регистрован. Код бројача се стога увек јављају мање или веће грешке услед поменутих фактора. Ове грешке се могу одредити рачуном вероватноће.

При мерењу ГМ бројачем, број откуцаја се обично своди на 1 минут. Ово се постиже дељењем укупног броја откуцаја, који показује бројач електричних импулса, са интервалом времена израженим у минутима (који се узима да је цео број), који пак показује хронометар. Овим се ни мало не мења изложен принцип рада и важност датих образаца. Мерење на тај начин није везано са једним или истим интервалом времена, па је то практичније.

Алатарура. ГМ бројач је смештен у оловној кушиште приказано на сл. 90-2, на чијем се горњем делу налази отвор за несметан пролазак γ -зрака из извора. Преко спољњих приклучака се бројач везује на високи напон и појачавач, тј. бројач електричних импулса насталих у њему.

Из над средишња отвора се поставља радиоактиван извор (Ra или Co) на растојању 10—30 см. На отвору кушишта, тј. између ГМ бројача и γ -извора, постављају се оловне плаочице, чији кофицијент апсорције се одређује. За мерење времена служи хронометар, а за мерење дебљине појединих плаочица новијус.



Сл. 90-2

Поступак при мерењу. Најпре се уређај прикључи на мрежу укључивањем прекидача на извону високог напона и бројачу електричних импулса, при чиму треба мало сачекати да се уређај загреје.

Мерење броја откуца (импулса) који дођу из ГМ бројача у бројач електричних импулса се врши на следећи начин. Најпре се искључи прекидач Р са сл. 90-1 и притисне дугме „враћање на нулу“ чиме се сви бројачки елементи у бројачу електричних импулса доведу у почетно стање. При овом треба забележити број на механичком бројачу n_1 , који региструје сваки 16. импулс (откуцај) који дође у овај бројач. При овоме је довољно забележити само последње две цифре. Затим се истовремено укључи прекидач Р (једном руком) и хронометар (другом руком). После истеклог времена t ($1\text{--}5 \text{ min}$), регистрованих импулса у бројачу електричних импулса се добива на тај начин што се разлика $n_2 - n_1$ помножи са 16 и томе дода збир бројева који налазе испред упалајућих лампи, при чиму се добије укупан број регистрованих импулса Z . Дељењем овог броја са временом мерења t у минутима, добива се број откуцаја — импулса у минути z_s .

Ефективно мерење почиње мерењем спонтаног броја откуцаја z_s , удаљавањем радиоактивног извора од ГМ бројача, када се резултати мерења унесу у табличу 90-1, при чиму је потребно извршити најмање 2—3 мерења

Таблица 90-1

| Број мерења | n_1 | n_2 | t min | Збир цифара испред упалајућих сијалица | $(n_2 - n_1) \times 16$ | Укупан број импулса $Z_s = (4) + (5)$ | $z_s = \frac{Z_s}{t}$ имп./мин |
|-----------------------------|-------|-------|---------|--|-------------------------|---------------------------------------|--------------------------------|
| (1) | (2) | (3) | (4) | (5) | (6) | (7) | |
| 1 | | | | | | | |
| 2 | | | | | | | |
| 3 | | | | | | | |
| Средња вредност \bar{z}_s | | | | | | | |

у трајању од 4 или 5 минута (због малог интензитета зрачења). На основу ових података израчунава се средња вредност \bar{z}_s , коју треба заокружити на цео број. Овде се подразумева да се ниједна плочица од олова не налази изнад ГМ бројача.

Сада се на статив постави радиоактивни извор, који је такође смештен у оловно кућиште, које је с једне стране отворено. Извор је потребан тако поставити да се овај отвор налази испротив средине ГМ бројача, а на висини од 10—30 см од њега. Сада се исти поступак мерења понови и то за случај када се испред ГМ бројача не налази ниједна оловна плочица ($x = 0$), затим када се стављају једна по једна плочица, после сваке промене броја плочица се измери број откуцаја (импулса) који се региструју у бројачу електричних импулса на већ описан начин. Како је број ових откуцаја у минути већи, то

§ 90. Одређивање коefицијента апсорпције γ -зрака...

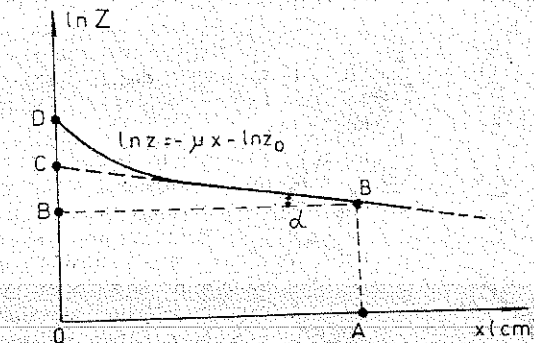
се интервал мерења t може смањити на 1 или 2 минута. Резултате мерења треба унети у таблицу 90-II, на основу које се нацрта графикон приказан на сл. 90-3.

Таблица 90-II

| Број плочица | x (mm) | \bar{z}_s (имп./мин) | z_t (имп./мин) | $z = z_t - \bar{z}_s$ (имп./мин) | $\ln z^*$ |
|--------------|----------|------------------------|------------------|----------------------------------|-----------|
| 0 | | | | | |
| 1 | | | | | |
| 2 | | | | | |
| • | | | | | |
| • | | | | | |
| • | | | | | |
| 10 | | | | | |

На ординатну осу се могу нанести природни или декадни логаритми броја откуцаја z , који одговарају појединачним дебљинама апсорpcionог слоја слова x .

Радиоактивна тела дају обично γ -зрачење различитих таласних дужина, те се у том случају на графикону наће добити права. Међутим, компоненте зрачења веће таласне дужине (мање енергије) брзо се апсорбују већ у првим



Сл. 90-3

слојевима, тако да крива постепено прелази у праву, јер она на овом делу остаје само компонента зрачења са најмањом таласном дужином, која се најмање апсорбује, тј. за коју је коefицијент апсорпције најмањи. Ако се задњи део добијене криве продужи, добива се права ВС, која одговара закону (90-1), тј. за случај када би се зрачење састојало само од компоненте зрачења са најмањом таласном дужином. Ордината ОС даје број откуцаја z_0 , који према томе, одговара интензитету зрачења γ -зрака нај-

* $\ln z = 2,3026 \lg z \approx 2,3 \lg z$

мање таласне дужине испред апсорционог слоја, тј. за $x=0$. Треба на-
гласити да ордината OD одговара измереном укупном зрачењу (свих талас-
них дужина) за $x=0$, да се до потребне величине OC долази посредно,
 преко дијаграма на претходни начин. Ордината OB тј AB одговара интен-
зитету зрачења који проће кроз слој дебљине $x=OA$. Са вредностима
 $\ln z_0 = OC$, $\ln z = OB$ и $x = OA$ добивеним на овај начин, израчунат је ко-
фицијент апсорције према (90,5),

$$\mu = \frac{\ln z_0 - \ln z}{x} = \frac{OC - OB}{OA} = \frac{CB}{OA}$$

који ће се добити у 1 cm ако се x изрази у cm .

Са добивеном вредношћу може се лако израчунати масени кофицијент
апсорције γ/ρ као и величина D за дати матерijал — обично олово.

Продужавањем праве $\ln z = f(x)$ са сл. 90-4 до пресека са x -осом,
може се добити дебљина апсорционог слоја X који би скоро потпуно
апсорбовао γ -зрачење најмање таласне дужине датог извора. Лако је добити
ову величину знајући да је $\mu = \tan \alpha$, где је угао α приказан на поменутој
слици, па је ова дужина

$$X = \frac{OC}{\mu}$$

Скалар је електронски уређај за бројење електричних импулса. Како
ради практично без инерције, услед примене електронских цеви или транзи-
стора, то је он у стању да региструје електричне импулсе који следе у врло
малим временским интервалима реда 10^{-6}s и мање. Механички уређаји
ове врсте, због велике инерције која се не може избегти, немају ове особине,
пошто они када региструју један импулс нису у стању да поново реагују
релативно дугом времену. Ово време код њих износи око $0,1\text{s}$, што, међутим,
у мањој мери зависи и од конструкције.

Из економских разлога се обично конструишу скалери са електронским
и механичким деловима, тако да известан број цифара региструју електрон-
ски делови скалера, док се остале цифре одбројавају механичким бројачима,
који у овој функцији, могу да задовоље. Код бинарног типа скалера на
сваки $1, 2, 4, 8, \dots$ импулс пали се гасна лампа помоћу електронских
уређаја, тако да број испред упаљене лампе показује број регистрованих
импулса. При овоме сваки 16. импулс покреће шифраник механичког бројача
за један. На овај начин када један импулс дође у скалер (под претпоставком
да су све лампе биле угашене) упаљиће се лампа иза броја 1; ако дође још
један импулс, тада ће се угасити прва лампа и упаљити лампа иза броја 2;
ако дође трећи импулс тада ће се упаљити и лампа иза броја 1 ($1+2=3$),
док ће четврти импулс упаљити лампу иза броја 4, при чему ће се прет-
ходне лампе угасити итд. Ово значи да збир бројева испред упаљених гас-
них лампи одговара укупном броју регистрованих импулса за време укљу-
чења прекидача P са сл. 90-1. Притиском на дугме „враћање на нулу“ све
ове сијалице се гасе, и скалер је спреман за поново одбројавање.

Укупан број импулса Z избројаних за време t са скалером чији ме-
ханички бројач региструје сваки 16. импулс, добива се на следећи начин.
Нека, нпр., после искључења прекидача P (који је био укључен $t=2\text{ min}$)

остану упаљене лампе иза бројева 1, 4 и 8, док је на механичком броју
настала разлика бројева $n_2 - n_1 = 7$, тада је укупан број импулса

$$Z = 1 + 4 + 8 + 7 \cdot 16 = 125 \text{ импулса}$$

и то је за један минут одбројано

$$z = \frac{Z}{t} = \frac{125}{2} = 62,5 \text{ имп./мин}$$

Подесном комбинацијом електронских цеви конструишу се и декад-
ни скалери. Гасне сигналне сијалице су означене цифрама од 1 до 9.
Када после цифре 9 дође следећи импулс пали се цифра 1 следеће декаде,
а на првој почиње бројање опет испочетка, тј. од 1. Тако се може стави-
ти више декада. Када се и последња декада испуни настаје покретање
механичког бројача а чео процес понавља. Некада се конструишу декаде
помоћу катодног зрака (декатрони). Свака катодна мала цев има једну
декаду, тј. цифре од 1 до 9. Сваки импулс помера катодни зрак на сле-
дећу цифру. После цифре 9 покреће се за једну цифру млауз на следећем
декатрону, односно на следећој декади. Када се испуни и последња де-
када покреће се механички бројач.

На овај начин се број регистрованих импулса декадним скалером
добива непосредним читањем броја јединица, десетица, хиљада, итд., што
свакако олакшава његову примену.

У последње време граде се и врло брзи скалери који на описани
начин могу да изброје и до 10^{10} импулса у секунду.

Напомена

За време једног мерења треба пазити да се узаемни положај извора γ -зрачења
и бројача николико не мења.